УДК 624.154

В.П. Чернюк, А.В. Бондарь, Е.И. Шляхова

Брестский государственный технический университет г. Брест, Республика Беларусь

РАСЧЕТ И ПРОЕКТИРОВАНИЕ ВИНТОВЫХ ЛОПАСТЕЙ СВАЙ И АНКЕРОВ В ИХ РЕЖУЩИХ И ХВОСТОВЫХ ЧАСТЯХ МЕТОДОМ КОНЕЧНЫХ ЭЛЕМЕНТОВ

Анномация. Расчеты винтовых лопастей свай и анкеров в центральных и режущих (хвостовых, передних, задних) частях отличаются между собой в силу особенностей их работы в основании. В первом случае они работают как сплошные (неразрезные) пластины переменной толщены, во втором — как разрезные. Жесткость и прочность лопастей винтовых свай в этих сечениях разная. По этой причине режущие и хвостовые части винтовых лопостей более загружены и нуждаются в усилении и должны выполняться более толстыми. В центральных сечениях — наоборот. В настоящей статье предлагается методока расчета винтовых лопастей и свай и анкера в их режущих и хвостовых частях.

Ключевые слова: винтовая лопасть, центральные, режущие и хвостовые сечения, методы расчета, прочность винтовой лопасти, толщина сечения, усиление.

Винтовые лопасти анкерных свай и анкеров, в отличие от круглых пластин переменной толщины в виде круглых фундаментных плит, турбинных дисков, лопастей гидромашин, клапанов, задвижек и т.п., имеют свои особенности расчета и проектирования в силу конструктивного исполнения по двум причинам.

Эти отличия заключаются в том, что винтовая лопасть, во-первых, представляет собой разрезную (незамкнутую) винтовую пластину-оболочку, защемленную в стволе сваи и работающую совместно с основанием. Во-вторых, в отличие от сплошных (неразрезных) круглых пластин постоянной или переменной толщины, винтовая лопасть является конструкцией пространственной, т.к. след лопасти на ступице составляет 1,0...1,25 шага и больше, а в плане она имеет 1,0...1,25 оборота. Винтовая

лопасть, имеющая радиальные разрезы в режущей (передней) и хвостовой (задней) частях пластины, разведена в разные стороны вдоль ствола сваи, имеет пространственную конструкцию.

Жесткость и прочность такой пространственной конструкции в центральных частях лопасти (между режущей и хвостовой частями) несколько выше жесткости и прочности плоской разрезной пластины, но в самих режущих и хвостовых частях-значительно ниже прочности и жесткости (чем в центральных частях), что обуславливается возможностью работы передней и задней частей лопасти на изгиб.

Подробный расчет и проектирование винтовых лопастей свай и анкеров в центральных частях (как круглых пластин переменной толщины) изложен и приведен в [1]. Однако данный способ для расчета прочности и жесткости в режущих и хвостовых частях винтовых лопастей неприемлем из-за другой схемы их работы в основании.

По этой причине и в связи с тем, что расчет прочности незамкнутой, т.е. разрезной пластины-оболочки в передней и хвостовой частях, защемленных в стволе сваи и работающих совместно с основанием, аналитическими и численными методами реализовать сложно, трудоемко и даже, невозможно, необходимо принятие некоторых допущений. Так как угол подъема срединной (центральной) поверхности лопастей существующих винтовых свай и анкеров незначителен и изменяется в пределах 9...20°, то расчетную схему пространственной винтовой лопасти вполне допустимо принять в виде кольцевой пластины, имеющей, в отличие от известных расчетных схем, разрез в радиальном направлении, т.е. винтовую лопасть, конструкцию-пространственную, имеющую радиальный разрез, можно рассматривать в центральных сечениях с достаточной степенью приближения, как разрезную плоскую кольцевую пластину-оболочку постоянной или переменной толщины. Игнорирование пространственной работы лопасти, а также уменьшение ее площади, по сравнению с реальной изогнутой винтовой пластиной-оболочкой, будет идти в запас прочности.

Таким образом, расчетная схема винтовой лопасти принимается в виде защемленной по внутреннему контуру кольцевой пластины с углом охвата 2π (рис. 1), загруженной равномерно, распределенной нагрузкой \boldsymbol{q} от действия внешних сил. При $\varphi=0$ и $\varphi=2\pi$ кольцевая пластина имеет свободные (разрезные) края, что соответствует радиальному разрезу лопасти. При таком подходе расчеты прочности и толщин s винтовых лопастей в центральных радиальных сечениях лопасти (разрез A-A на рис. 1) допустимо вычислять как для замкнутых (сплошных) круглых пластин переменной толщины [1].

В передней (режущей) и задней (хвостовой) частях (разрез Б-Б на рис. 1) данный подход не применим и фактически невозможен предыдущим методом из-за наличия свободных краев винтовой лопасти, работающих на изгиб, и требуется иной способ для расчета толщины разрезных краев пластины-оболочки постоянной или переменной кривизны в этих местах. По этой причине напряжено-деформированное состояние винтовых лопастей в

этих частях было целесообразно было определять методом конечных элементов, для чего применялся расчетно-вычислительный комплекс "Лира", разработанный в НИИАСС Госстроя Украины [2].

Для описания расчетной схемы использовались треугольные конечные элементы тонких пластинок со следующими степенями свободы в каждом узле: W, $\frac{\partial w}{\partial x_1}$ и $\frac{\partial w}{\partial y_1}$, т.е в узлах налагались связи на вертикальные пере-

мещения W из плоскости и углы поворота $\frac{\partial w}{\partial x_1}$ и $\frac{\partial w}{\partial y_1}$ по направлениям местной системы координат.

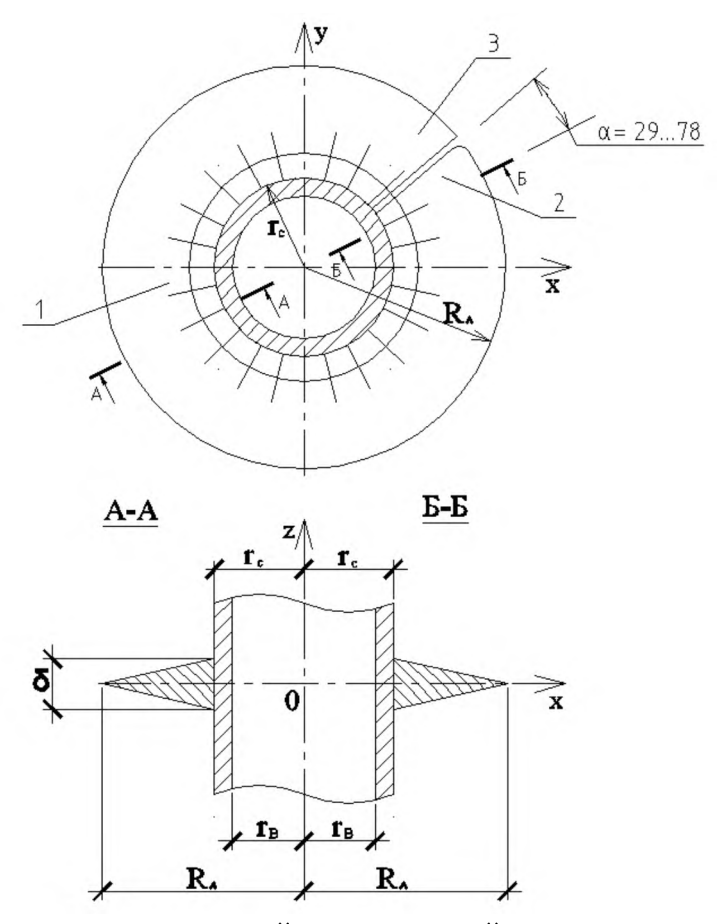


Рисунок 1. Схема к расчету лопастей винтовых свай и анкеров в центральной (1), режущей передней (2), и хвостовой задней (3) частях

Размеры конечных элементов принимались достаточно малыми, а сечение лопасти в радиальном направлении изменялось ступенчато с размерами, эквивалентными сечению клина в центре тяжести соответствующей трапеции с прямолинейными и криволинейными боковыми гранями. Таким образом, сечение лопасти в радиальном направлении рассматривалось в форме клина с толщиной убывающего профиля от защемления в стволе к периферии. Исследования выполнялись для расчетных схем винтовых лопастей с соотношениями: $(R_{\Lambda} - r_c)/\delta = 6...16$, $R_{\Lambda}/r_c = 3..5$ где R_{Λ} - радиус винтовой лопасти; r_c — радиус ствола сваи, δ -толщина лопасти в защемлении, что позволило рассматривать их как тонкие пластины-оболочки. Ма-

териал лопасти считался изотропным и однородным, а коэффициент Пуассона μ изменялся в пределах μ = 0,25...0,33 (в исследованиях [3] показано, что изменение коэффициента μ в указанных пределах, а это зависит от материала лопасти, на прочность винтовой лопасти существенного влияния не оказывает). Из-за больших объемов вычислений расчеты вычислялись на ЭВМ.

В процессе исследований была осуществлена оценка влияния дискретности расчетной схемы замкнутых кольцевых пластин и пластин с разрезом постоянного и переменного сечений на величины изгибающих моментов. Для этого сопоставлялись расчеты, выполненные методом конечных элементов с результатами, полученными по классической теории пластин [4]. Таким образом, были установлены критерии подобия и внесены соответствующие поправки в конечные результаты расчетов.

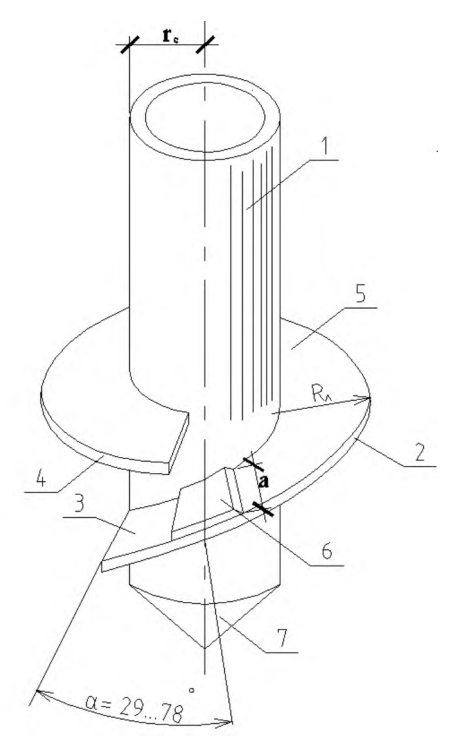


Рисунок 2. Винтовая свая с усилением передней (режущей) части лопасти: 1-ствол; 2-винтовая лопасть; 3-заходная (режущая) часть; 4-задняя (хвостовая) часть; 5-центральная часть лопасти; 6-накладка (утолщение); 7-конический наконечник

При анализе напряжённо-деформированного состояния было установлено, что прочность винтовой лопасти и ее несущая способность зависят от величин изгибающих моментов M_r , возникающих в ней; при этом максимальные значения изгибающих моментов принимаются в зоне заделки винтовой лопасти в стволе, в заходном и хвостовом её сечениях, в радиальном направлении, на некотором удалении от разреза (при значении угла смещения $\alpha = 29...78^\circ$ от разреза).

На этом основании авторами было предложено техническое решение винтовой сваи, защищенное а.с. СССР №1534140, согласно которому заходные (режущие) и хвостовые (задние) части винтовых лопастей следует усиливать путем увеличения толщины сечения или приварки накладок

(рис. 2), что подтверждает справедливость расчетных положений и формул. При этом вылет накладки а относительно ствола должен быть более 1/20 вылета лопости.

Имея результаты расчета для пластин с разными соотношениями и абсолютными значениями R_Λ , r_c , δ после внесения поправок были получены расчетные значения максимальных величин изгибающих моментов $M_r^{\rm max}$ зависящих от характера изменения толщин пластины (кривизны), соотношения радиусов ствола и лопасти при значениях коэффициента Пуассона $\mu=0,25...0,33$.

В результате максимальные значения изгибающих моментов можно определять по следующим расчетным формулам в кНм:

– для лопастей постоянной толщины:

$$M_r^{\text{max}} = (12,94 - 23,72 \frac{r_c}{R_{\Lambda}}) q \frac{R_{\Lambda}^2}{6}$$
 (1)

– для лопастей переменной толщины:

$$M_r^{\text{max}} = (14.8 - 26 \frac{r_c}{R_{\Lambda}}) q \frac{R_{\Lambda}^2}{6}$$
 (2)

где q – интенсивность действия внешней нагрузки, к Π а;

 $R_{\scriptscriptstyle \Lambda}$ и $r_{\scriptscriptstyle c}-$ соответственно радиусы лопастей и ствола сваи, м.

В связи с тем, что значения M_r^{max} определяется для заходного и хвостового сечений лопасти в зоне заделки их стволом на незначительном удалении от радиального разреза (29...70°), то толщина лопасти в этих сечениях $\delta = t_{\text{max}}$ и определяется по формуле (3), а других цилиндрических сечениях толщина лопасти убывающего переменного (гиперболического) профиля t_r : определяется по выражению (4):

$$t_{\text{max}} = \sqrt{\frac{6 \cdot M_{\text{max}}}{\gamma_c \cdot R_u}}; \qquad (3)$$

$$t_r = t_{\text{max}} \left[1 - \left(\frac{r - r_c}{R_{\Lambda} - r_c} \right)^Z \right], \qquad (4)$$

где : $t_{\rm max}$ — максимальное значение толщины винтовой лопасти в зоне ее заделки в стволе сваи, м;

 γ_c – коэффициент условий работы лопасти, дол. ед.;

 $R_{_{\!u}}-$ предельно допустимые изгибающие напряжения на растяжение либо сжатие (для равнопрочных сжатию и растяжению материалов) или растяжение и сжатие (для неравнопрочных растяжению и сжатию материалов), к Π а;

 $0 \le Z \le 1$ – показатель степени вогнутости лопасти (при Z=1 профиль лопасти линейный), принимается в каждом случае, исходя из существующего, требуемого или проектируемого профиля винтовой лопасти, максимально к нему приближаясь.

Для наглядности и с целью сравнения результатов вычислений, полученных различными методами, рассмотрим конкретный пример расчета лопасти в трех сечениях существующей винтовой анкерной сваи СВ 30/105, работающей на выдергивание, при следующих исходных данных [1]:

Материал лопасти-высокопрочный чугун марки ВЧ-50-1,5 с $R_u=2.7\cdot 10^5\kappa\Pi a;\; E=2\cdot 10^8\kappa\Pi a,\; \mu=0,25$. Радиус ствола сваи $r_c=15,55cm$ при толщине лопасти в зоне заделки $\delta=6cm+1,5cm$ на скругление; радиус винтовой лопасти $R_\Lambda=52,5cm$ при $\delta=1,75cm$; средний радиус винтовой лопасти $r_{cp}=\frac{15.55+52.5}{2}=34cm$, при $\delta=2,65cm$ расчетная выдергивающая нагрузка $P=600\kappa H$. Интенсивность действия нагрузки $q=\frac{P}{\pi(K_s^2-r_c^2)}=\frac{600}{3,14(0,525^2-0,155^2)}=760\kappa\Pi a$.

Решение

Исходя из существующего профиля лопасти винтовой сваи CB 30/105 подбираем наиболее близкое (гиперболическое) очертание профиля винтовой лопасти, так чтобы обеспечилось бы наиболее близкое совпадение толщин лопастей существующей и расчетной винтовых свай: Оно будет равно при

$$t=Hr^k=0.0093r^{-1}(H=0.093,k=-1)\ \Pi$$
ри этом:
$$\text{при } r=r_c=0.1555\text{м};\ t_{rc}=\frac{0.093}{0.1555}=0.0598\text{ npu }\delta=0,06\text{м};$$

$$\text{при } r=R_\Lambda=0.525\text{м};\ t_{r\Lambda}=\frac{0.093}{0.525}=0.0177\text{ npu }\delta=0,0175\text{м};$$

$$\text{при } r=r_{cp}=0.34\text{м};\ t_{rcp}=\frac{0.093}{0.34}=0.0274\text{ м npu }\delta=0,0265\text{м};$$

Для всех трех расчетных сечений от центра сваи определим значения изгибающих моментов M_r в центральных частях лопасти, рассчитываемых аналитическим методом, как для круглых пластин переменной толщины [1]. Из-за длительности вычислений значения M_r позаимствуем из [5] при тех же исходных данных. Они будут соответственно равны:

$$M_r = 98.287 \kappa H \cdot M$$
, $M_{rA} = 0 \kappa H \cdot M M_{rcn} = 10,8542 \kappa H \cdot M$

Для всех трех расчетных центральных сечений толщины винтовой лопасти можно рассчитать по формуле (3):

$$t_{rc} = t_{\text{max}} = \sqrt{\frac{6 \cdot 98.287}{1 \cdot 2.7 \cdot 10^5}} = 0.0467 \text{M}; \ t_{r\Lambda} = \sqrt{\frac{6 \cdot 0}{1 \cdot 2.7 \cdot 10^5}} = 0 \text{M}; \ r_{cp} = \sqrt{\frac{6 \cdot 10.8542}{1 \cdot 2.7 \cdot 10^5}} = 0.01555 \text{M}.$$

Для расчета толщин в передней режущей и хвостовой частях винтовой лопасти воспользуемся методом конечных элементов. По формуле (2) для лопастей переменной толщины вначале определим значение $M_r^{\text{мах}}$, а затем по выражениям (3),(4) — сами значения толщин в трех расчетных сечениях (при средней степени вогнутости лопасти Z=0.5).

 $M_{rc}^{\text{\tiny Max}} = (14.8 - 2.6 \frac{0.1555}{0.525})760 \cdot 0.525^2 / 6 = 248 \, \kappa H_{M};$ т.е. примерно в 2,5 раза больше, чем в центральных сечениях в зоне заделки со стволом, (точнее в $\frac{248}{98287} = 2.52$ раза);

$$t_{rc} = t_{\text{max}} = \sqrt{\frac{6 \cdot 248}{1 \cdot 2.7 \cdot 10^5}} = 0.00742 \text{M};$$

$$t_{r\Lambda} = 0,742 \left[1 - \frac{(0,525 - 0,1555)}{(0,525 - 0,1555)}^{0,5} \right] = 0 \text{ M};$$

$$t_{rcp} = 0,742 \left[1 - \frac{(0,34 - 0,1555)}{(0,525 - 0,1555)}^{0,5} \right] = 0,223 \text{M},$$

Для наглядности и дальнейшего анализа все результаты вычислений толщин в трех сечениях лопасти (t_{rc} , t_{rcp} , $t_{r\Lambda}$) сведем в табл. 1 и по ней построим четыре графика профилей винтовой лопасти-фактический (а), теоретический (б), расчетный (аналитический) для центральных частей лопасти (в) и расчетный для режущей (хвостовой) частей лопасти (рис.3). По вертикальной оси t масштаб толщины лопасти принять 1:1, по горизонтальной r-1:3.

Таблица 1. Расчетные и фактические значения толщин лопасти винтовой сваи CB 30/105 в трёх сечениях

| Толщина лопасти винтовой сваи | Значение толщины винтовой лопасти сваи при радиусе г,см | | |
|---|--|-------------|----------------------|
| | $r_c = 15,555$ | $r_{cp}=34$ | R _A =52.5 |
| Фактическая (существующая) | 6 ^{t1.5} | 2.65 | 1.75 |
| Теоретическая (приведенная) | 5,98 | 2,74 | 1,77 |
| Расчетная в центральной части, полученная | 4,67 | 1,55 | 0 |
| аналитическим путем | | | |
| Расчетная в режущей (заходной) и задней (хво- | | | |
| стовой) частях, полученная методом конечных | 7,42 | 2,23 | 0 |
| элементов | | | |

Примечание: 6+1,5-фактическая толщина лопасти со скруглением на стволе (из них 6см фактическая толщена лопасти, 1,5 см-скругление)

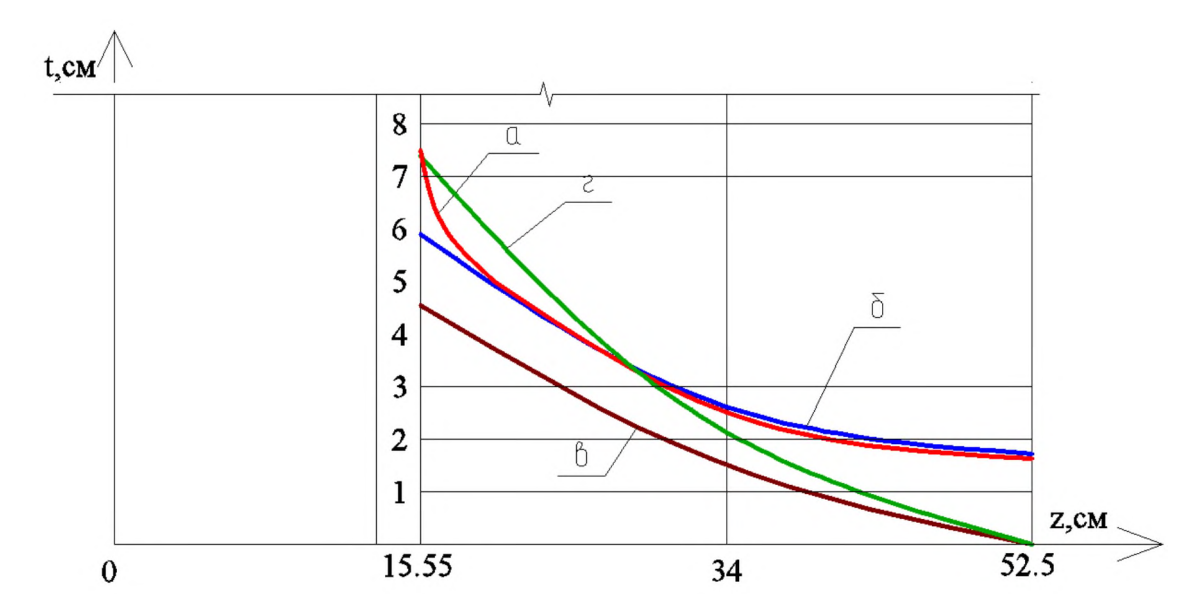


Рисунок 3. Фактический (а), приведенный (б), расчетный в центральный части (в) и расчетный в заходной (хвостовой) части(г) профили лопасти винтовой сваи

Вывод. Приведенные в таблице 1 данные и изображение на рис.3,3 кривые показывают, что во всех трех расчетных сечениях фактические (приведенные) толщины профиля винтовой части сваи СВ 30/105 превышают расчетные в тех же сечениях лопасти на выдергивающую нагрузку Р=600 кН, что идет в запас прочности и защиту от коррозии. При этом расчетные значения в режущей и хвостовой частях лопасти превышают её толщину в центральных частях, поэтому требуется утолщение винтовой лопасти в передней и задней частях при действии на сваю больших по величине выдергивающих нагрузок.

СПИСОК ЛИТЕРАТУРЫ

- 1. *Чернюк*, *В.П.* Расчет и проектирование винтовых лопастей свай и анкеров как круглых пластин переменной толщины /В.П. Чернюк , П.П Ивасюк, В.П. Щербач// Материалы международной научно-практической конференции "Современные технологии в строительстве, теплогазоснабжении и энергосбережении". РФ, г.Саратов, ФГБОУ ВО Саратовский ГАУ им Н.И. Вавилова, 2015.-С.237-245.
- 2. *Мухин*, *А.В.* К расчету и конструированию лопасти винтовой сваи/А.В. Мухин, В.П. Чернюк, В.Н. Пчелин, В.В. Спиридонов // Брестский инж.-строй. ин-т.-Брест, 1998.-8с.-Деп.во ВНИИИС 27.01.88,№8544, МФ HPSUOO8544CA.
- 3. Богород, Л.Я. Винтовые сваи и анкеры в электросетевом строительстве/ Л.Я. Богород // -М.:Энергия, 1967.-200с.
- 4. *Тимощенко*, *С.П.* Пластины и оболочки. /С.П. Тимощенко, С.Войковский-Кригер//.-М.:Наука,1966-635с.
- 5. *Чернюк*, $B.\Pi$. Расчет, проектирование и устройство свайных фундаментов / В.П. Чернюк, П.С. Пойта // -Брест, Облтипография,1998.-212с.